

内质网应激诱导的自噬对新生大鼠坏死性小肠结肠炎的影响

王丽红 杨晓丽 李静

摘要 目的 探讨抑制内质网应激(endoplasmic reticulum stress,ERS)诱导的自噬对新生大鼠坏死性小肠结肠炎(necrotizing enterocolitis,NEC)的影响。**方法** 首先建立新生大鼠NEC模型,然后从中分离提取出肠上皮细胞,分为对照组、抑制组、诱导组。对照组正常培养,抑制组加4-苯基丁酸,诱导组加衣霉素处理24h。采用酶联免疫吸附试验(enzyme-linked immunosorbent assay,ELISA)检测各组细胞炎性细胞因子肿瘤坏死因子- α (tumor necrosis factor- α ,TNF- α)、肠脂酸结合蛋白(intestinal fatty acid binding protein,I-FABP)的表达水平;实时荧光定量聚合酶链反应(real-time quantitative polymerase chain reaction,RT-qPCR)检测各组细胞ERS标志物葡萄糖调节蛋白78(glucose regulated protein 78,GRP78)、氧调节蛋白150(oxygen-regulated protein 150,ORP150)的mRNA表达水平;Western blot法检测各组细胞自噬相关蛋白LC3 II/I,p62的表达水平。**结果** 与对照组比较,抑制组p62表达明显增高,TNF- α 、I-FABP、GRP78、ORP150、LC3 II/I表达显著降低,而诱导组p62表达明显降低,TNF- α 、I-FABP、GRP78、ORP150、LC3 II/I表达显著增高,差异均有统计学意义($P < 0.05$)。**结论** 抑制ERS诱导的自噬激活可减轻NEC新生大鼠肠黏膜损伤和炎性反应,改善肠道屏障功能。

关键词 内质网应激 自噬 坏死性小肠结肠炎 肠上皮细胞 作用机制

中图分类号 R722

文献标识码 A

DOI 10.11969/j.issn.1673-548X.2024.02.021

Effect of Endoplasmic Reticulum Stress - induced Autophagy on Necrotizing Enterocolitis in Neonatal Rats. WANG Lihong, YANG Xiaoli, LI Jing. Shanxi People's Hospital, Shanxi 030000, China

Abstract Objective To investigate the effect of inhibiting autophagy induced by endoplasmic reticulum stress (ERS) on necrotizing enterocolitis (NEC) in neonatal rats. **Methods** First, the NEC model of neonatal rats was established. Then, the intestinal epithelial cells were isolated and divided into three groups: control group, inhibition group and induction group. The control group was cultured normally, the inhibition group was added with 4-phenylbutyric acid, and the induction group was added with tunicamycin for 24 hours. Enzyme-linked immunosorbent assay (ELISA) was used to detect the expression of the cellular inflammatory cytokines tumor necrosis factor- α (TNF- α) and intestinal fatty acid binding protein (I-FABP) in each group. Real-time quantitative polymerase chain reaction (RT-qPCR) was used to detect the mRNA expression level of the markers of ERS glucose regulated protein 78 (GRP78) and oxygen-regulated protein 150 (ORP150). Western blot was used to detect the expression of autophagy related proteins LC3 II/I and p62. **Results** Compared with the control group, the expression of p62 in the inhibition group increased significantly, the expression of TNF- α , I-FABP, GRP78, ORP150, LC3 II/I in the inhibition group was significantly decreased, while the expression of p62 in the induction group was significantly decreased, the expressions of TNF- α , I-FABP, GRP78, ORP150, LC3 II/I were significantly increased, and the differences were statistically significant ($P < 0.05$). **Conclusion** Inhibition of ERS induced autophagy activation can alleviate intestinal mucosal injury and inflammatory response in neonatal rats with NEC and improve intestinal barrier function.

Key words Endoplasmic reticulum stress; Autophagy; Necrotizing enterocolitis; Intestinal epithelial cells; Mechanism of action

新生儿坏死性小肠结肠炎(necrotizing enterocolitis,NEC)是一种严重的急性肠道炎症性疾病。据报道,其发生率为3%~15%^[1]。其中高达50%的患儿

需进行手术治疗,且术后发生严重并发症(如脑瘫和认知障碍)的可能性很大^[2,3]。研究发现,该病病死率为18.5%~28.8%,而且在过去几十年里并没有明显变化^[4]。此外,NEC患儿住院时间更长,治疗费用更高^[5]。因此,探索NEC的发病机制及治疗方法已成为临床研究的重点。

NEC有复杂的、多因素的病理生理学,潜在的作用机制尚不明确。Qiao等^[6]研究显示,内质网应激

基金项目:山西省卫生健康委员会科研课题(2020024)

作者单位:030000 太原,山西医科大学儿科医学系(王丽红);036200 太原,山西省人民医院儿科(杨晓丽、李静)

通信作者:杨晓丽,电子信箱:yangxlsx1989@163.com

(endoplasmic reticulum stress, ERS) 可诱发肠道炎症, 导致肠黏膜屏障破坏, 进而诱发多种疾病。大量研究表明, ERS 与克罗恩病和溃疡性结肠炎等炎症性肠病及结肠癌的发病机制有关^[7,8]。Lau 等^[9]研究表明, ERS 也可能与急性肠道损伤的发病机制有关。Zhu 等^[10]报道, 与肠道炎症密切相关的内质网是 NEC 发病机制的关键参与者, 抑制 ERS 可改善 NEC 大鼠肠道损伤。研究表明, 自噬激活发生在 NEC 肠道组织中, 抑制自噬可以对 NEC 起保护作用^[11, 12]。王国琴等^[13]研究显示, ERS 和自噬两者之间存在着重要的联系。ERS 介导的自噬机制非常复杂, 但目前国内外对 ERS 诱导的自噬和 NEC 关系研究甚少。

本课题组在前期实验中已成功建立新生大鼠 NEC 模型^[14]。在此基础上, 本课题拟从体外细胞实验开展进一步研究: 建立新生大鼠 NEC 模型, 分离提取出肠上皮细胞, 检测炎性细胞因子、ERS 标志物和自噬相关蛋白等的表达, 探究抑制 ERS 诱导的自噬是否对 NEC 有保护作用, 阐明其对 NEC 作用机制的影响, 旨在为 NEC 的治疗提供实验参考。

材料与方法

1. 实验动物与主要试剂: 健康新生清洁级 Sprague-Dawley (SD) 大鼠 10 只, 雌雄不限, 体质量 5~10g, 由山西省人民医院动物实验室(实验动物许可证号: SCXK 晋 2019-0001) 提供, 按无特定病原体 (specific pathogen free, SPF) 级要求饲养。脂多糖 (lipopolysaccharide, LPS, 血清型 055:B55) 购自北京 Sloarbio 公司; 衣霉素 (tunicamycin, Tm, ERS 诱导剂)、4-苯基丁酸 (4-phenylbutyric acid, 4-PBA, ERS 抑制剂) 均购自上海 Macklin 公司; LC3 酶联免疫吸附试验 (enzyme-linked immunosorbent assay, ELISA) 试剂盒、p62 ELISA 试剂盒均购自上海酶联生物科技有限公司; 反转录试剂盒、实时荧光定量聚合酶链反应 (real-time quantitative polymerase chain reaction, RT-qPCR) 试剂盒均购自日本 TaKaRa 公司; BCA 蛋白含量检测试剂盒、LC3 及 p62 抗体、羊抗兔 IgG-HRP 均购自江苏凯基生物技术股份有限公司; 引物由通用生物(安徽)股份有限公司合成。代乳品配制: 雅培婴儿配方奶粉 5g, 脂肪乳 50ml, 蛋白粉 8g, 加灭菌水至 100ml。

2. NEC 动物模型的建立: 所有动物实验方案均经山西省人民医院动物保护委员会批准 [伦理学审批号: (2019)省医伦审字第 105 号]。通过人工喂养 + 缺氧 + 冷刺激 + LPS 灌胃多因素联合在新生 SD

大鼠中诱导 NEC 模型。每天于 8:00、12:00、16:00、20:00 时人工喂养新生大鼠 4 次配方奶(起始量为 0.15ml, 后逐渐增加); 每天于 8:00、20:00 时进行缺氧应激(暴露于纯氮气 60s), 然后置于冰箱进行冷暴露 (4℃, 10min); 后于每天 16:00 时经灌胃针注入 LPS (10mg/kg 稀释于配方奶中), 连续 2 天。空腹 12h 后以颈椎脱臼法处死动物, 收集肠组织(回盲部近端 2cm) 用于后续实验。

3. 肠上皮细胞的提取、培养: 如汪煜鹏^[15]所述, 先进行试剂配制: ① 细胞洗液: 50ml 磷酸盐缓冲液 (phosphate buffered saline, PBS) + 0.5ml 青霉素 (100U/ml)、链霉素 (0.1mg/ml) 双抗; ② 消化液: 15ml DMEM/F12 培养基 + 1.5mg 中性蛋白酶 II (0.1mg/ml) + 4.5mg 胶原蛋白酶 XI (0.3mg/ml); ③ 分散液: 1.00g 山梨醇 + 2.5ml 胎牛血清 + 普通 DMEM/F12 培养基定容至 50ml; ④ 完全培养基: 5ml 胎牛血清 + 0.5ml 青链霉素双抗 + 0.4ml EGF (2.5μg/ml) 稀释液 + DMEM/F12 培养基定容至 50ml。

参照沈雁等^[16]的方法, 用细胞洗液将获取的肠组织反复冲洗 3~5 次后将其剪碎, 吸取含碎肠组织的溶液到 15ml 的离心管中。加 10ml 的冰 PBS 溶液, 轻柔地吹打, 反复几次直至上清液变澄清, 16099 × g 离心 3min, 弃上清。向沉淀中加入适量消化液在 37℃ 下消化 30min, 每隔 10min 摆匀 1 次, 静置 1min 后取上清入 15ml 离心管中, 重复上述操作 2 次。向上清液中加 10ml 分散液, 吹打混匀, 16099 × g 离心 3min, 弃上清。沉淀用分散液重悬, 重复 5~6 次, 直到上清液澄清。加入 5ml 完全培养基重悬, 接种于培养瓶中, 放入细胞培养箱 (37℃, 5% CO₂) 进行细胞培养, 每 2~3 天换液 1 次, 当细胞密度达 80%~90% 后进行后续实验。

4. 分组及干预方法: 取对数生长期的细胞分为 3 组: 对照组(用不含药物的完全培养基孵育)、抑制组(加 5mmol/L 的 4-PBA 处理细胞)、诱导组(加 10μg/ml 的 Tm 处理细胞), 均处理 24h^[6]。

5. ELISA 检测炎性细胞因子: 将待测样本室温放置 20min, 于各反应孔中依次加入标准品和样本 50μl, 每孔加入酶标试剂 100μl, 空白孔除外。用封板膜封板后振荡、混匀后置 37℃ 温育 60min。每孔加洗涤液人工洗涤 5 次, 后加入 50μl 显色剂 A、B, 轻轻震荡混匀, 37℃ 避光显色 15min, 加终止液 50μl 终止反应。以空白孔调零, 采用酶标仪记录 450nm 波长

处各孔的吸光度(*A*)值,绘制标准曲线并计算出各组样本肿瘤坏死因子- α (tumor necrosis factor- α , TNF- α)、肠脂酸结合蛋白(intestinal fatty acid binding protein,I-FABP)的质量浓度。

6. RT-qPCR 检测 ERS 标志物:利用 Trizol 试剂从培养的肠上皮细胞中分离总 mRNA。然后,通过反转录试剂盒将提取的 RNA 合成为互补 DNA。取 cDNA 以 β -actin 为内参进行 RT-qPCR 检测,运用 RT-qPCR 仪参照试剂盒说明书设置程序:95℃变性 10min,然后 95℃变性 15s,60℃退火 20s,72℃延伸 28 个循环 40s。完成循环步骤后,72℃再延伸 5min。采用 $2^{-\Delta\Delta CT}$ 法计算葡萄糖调节蛋白 78(glucose regulated protein 78,GRP78)、氧调节蛋白 150(oxygen-regulated protein 150,ORP150) 相对基因表达量。

表 1 RT-qPCR 引物序列

基因名称	引物序列(5'→3')
GAPDH(鼠)	上游引物:AGGTTGTCTCCTGTGACTTCAA
	下游引物:CTGTTGCTGTAGCCATATTCAATTG
GRP78	上游引物:TCGACTTGGGGACCACCTAT
	下游引物:AGTGAAGGCCACATACGAGC
ORP150	上游引物:TCAGCTATGGTGTCTTCCGC
	下游引物:CACCGTTGGTAGGTCACGA

7. Western blot 法检测自噬相关蛋白:处理后的细胞在含有 1% 芬基甲基磺酰氟(phenylmethanesulfonyl fluoride, PMSF)、10% 蛋白酶抑制剂和 1% 磷酸化抑

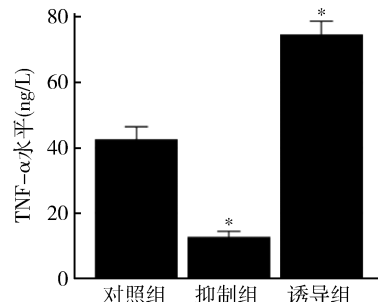


图 1 各组细胞炎性细胞因子表达比较

与对照组比较, * $P < 0.05$

2. 各组肠上皮细胞 ERS 标志物 mRNA 比较:RT-qPCR 检测结果显示,与对照组比较,抑制组 GRP78、ORP150 的 mRNA 相对表达量明显降低,而诱导组明显增高,差异均有统计学意义($P < 0.05$),详见图 2。

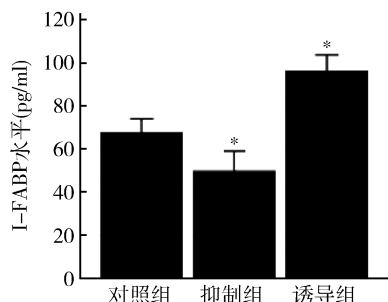
3. 各组肠上皮细胞内自噬相关蛋白比较:Western blot 法检测结果显示,与对照组比较,抑制组 p62

制剂的冷 RIPA (radioimmunoprecipitation assay, RIPA 裂解液)溶液中裂解 30min,收集蛋白用于后续实验。通过聚丙烯酰胺凝胶电泳(sodium dodecyl sulfate-Polyacrylamide gel electrophoresis, SDS-PAGE)电泳并转移至聚偏氟乙烯(polyvinylidene fluoride, PVDF)膜上。经 5% 脱脂牛奶室温封闭 2h 后,把膜与相应的一抗 4℃下孵育过夜。次日,膜经 Tris 缓冲盐吐温-20 溶液(tris buffered saline tween-20, TBST)洗涤 3 次后,与相应的二抗室温下孵育 2h,TBST 洗膜 3 次。采用成像分析系统扫描获得的印迹,用 Gel-Pro32 软件进行灰度值分析。通过将条带强度归一化为 GAPDH 带强度来确定每个通道的 LC3 II/I、p62 蛋白表达水平。

8. 统计学方法:应用 SPSS 27.0 统计学软件对数据进行统计分析。计量资料以均数 \pm 标准差($\bar{x} \pm s$)表示,多组间比较采用单因素方差分析,进一步两两比较采用 LSD 法,以 $P < 0.05$ 为差异有统计学意义。

结 果

1. 各组肠上皮细胞炎性细胞因子比较:ELISA 检测结果显示,与对照组比较,抑制组 TNF- α 、I-FABP 水平明显降低,而诱导组的表达水平显著增高,差异均有统计学意义($P < 0.05$),详见图 1。



蛋白水平明显升高,LC3 II/I 蛋白水平显著降低;而诱导组则相反,差异均有统计学意义($P < 0.05$),详见图 3、图 4。

讨 论

NEC 的发病机制极其复杂,其发病与早产、配方奶喂养、肠道微生物菌群失调、炎症、缺氧缺血性损伤等有关,随之引发一系列病理生理变化,最终导致肠

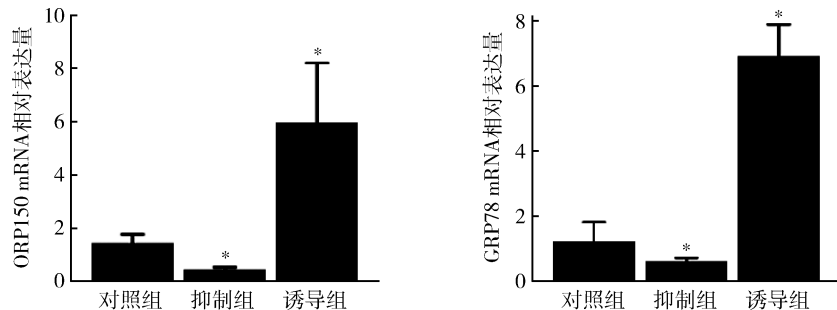


图 2 各组细胞 ERS 标志物 mRNA 相对表达量比较

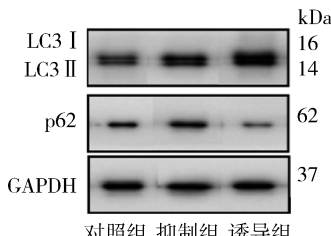
与对照组比较, * $P < 0.05$ 

图 3 各组细胞自噬相关蛋白条带

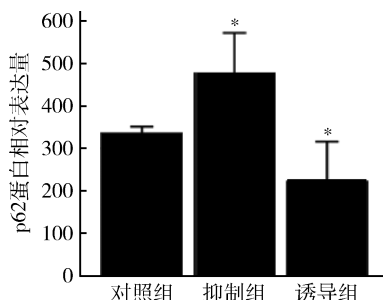


图 4 各组细胞自噬相关蛋白表达比较

与对照组比较, * $P < 0.05$

性变化^[20]。此外,它还被认为是一种可预测 NEC 发展并与肠组织坏死程度相关的生物学标志物^[21]。ERS 和自噬在多种胃肠道疾病的发生、发展过程中起重要作用。内质网主要参与蛋白质的加工和修饰,指导其正确的折叠和组装。在各种不利刺激的作用下,内质网功能发生紊乱,大量错误折叠蛋白质堆积就会启动 ERS^[22]。重度或持续的 ERS 则会激活炎症小体,甚至引起细胞凋亡^[23]。在 ERS 发生时,内质网驻留蛋白 GRP78 首先从内质网膜上解离,以帮助被破坏的蛋白质重新折叠或降解,其表达水平可反映 ERS 的严重程度,被认为是 ERS 的生物学标志物之一^[24]。

ORP150 作为一种机体应对应激时产生的重要 ERS 伴侣分子标志物,它的高表达与许多 ERS 相关

黏膜屏障功能障碍、通透性改变、发生不可逆性损伤^[17]。参与 NEC 的炎性介质包括 TNF - α 、白细胞介素等,TNF - α 参与活化多种炎性细胞,促进其释放大量的氧自由基和蛋白酶导致肠组织损伤^[18];还可诱导线粒体发生功能障碍甚至使其凋亡,引发肠上皮细胞发生凋亡^[19]。 $I - F A B P$ 在肠道缺血性疾病中的表达水平明显增高,可反映肠黏膜损伤程度和通透

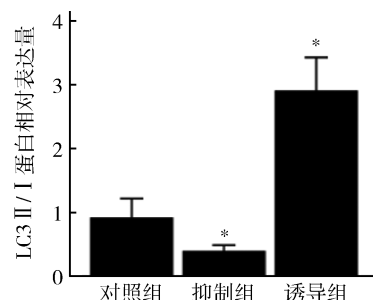


图 4 各组细胞自噬相关蛋白表达比较

与对照组比较, * $P < 0.05$

疾病密切相关^[25]。当 ERS 无法清除超负荷的折叠紊乱蛋白时,细胞自噬将被激活以清除这类蛋白维持细胞稳态。据报道,ERS 是 NEC 新生大鼠自噬的一种潜在诱导剂^[26]。自噬是一种广泛且高度保守的细胞降解过程。LC3 是自噬的关键指标,由于可溶性 LC3 I 型转化为脂质结合型 LC3 II 型是自噬的典型特征,因此使用 LC3 II / I 比率来评估自噬程度^[27]。p62 是一种能与 LC3 结合并被降解的应激蛋白,其含量与自噬水平呈负相关,也被认为是一种自噬程度的标志物^[28]。研究表明,NEC 组 TNF - α 水平高于健康新生儿组,而且随疾病严重程度呈上升趋势,说明其浓度与 NEC 临床分期密切相关^[29]。ERS 可调节肠上皮细胞的炎性反应,持续的 ERS 会诱导细胞凋亡,抑制 ERS 可能对 NEC 的肠道有保护作用^[30,31]。

抑制 ERS 能够减轻细胞凋亡程度和抑制 NEC 的发展^[32]。在严重烧伤小鼠中,抑制 ERS 可减轻烧伤诱导的自噬激活,使肠道通透性减弱,减轻肠道损伤^[33]。因此,以上研究表明,ERS - 自噬通路与肠黏膜屏障功能受损疾病(如 NEC)的发病机制紧密相关,抑制 ERS 诱导的自噬可以减轻 NEC 肠组织的炎性反应。

本实验发现,与对照组比较,抑制组的 TNF - α 、I - FABP、GRP78、ORP150mRNA 表达水平明显降低,LC3 II / I 表达水平下调,p62 表达水平上调,提示炎性细胞因子、ERS 相关标志物表达降低,自噬水平显著下调,诱导组结果明显相反,证明抑制 ERS 通过阻止细胞内自噬激活显著降低 NEC 刺激的炎性细胞因子释放,减轻 NEC 肠上皮细胞的炎性反应,表明抑制 ERS 诱导的自噬可能是 NEC 肠组织损伤的保护机制。所以抑制 ERS - 自噬通路可作为 NEC 肠组织损伤的治疗靶点。

综上所述,抑制 ERS 可减轻 NEC 肠上皮细胞的炎性反应,其作用机制可能与阻断细胞的 ERS - 自噬通路有关。本研究从 ERS 和自噬方面揭示了 NEC 的发病机制,为探索 NEC 的治疗提供了新思路。

利益冲突声明:所有作者均声明不存在利益冲突。

参考文献

- De Bernardo G. Necrotizing enterocolitis: from diagnosis to therapy [J]. Curr Pediatr Rev, 2019, 15(2): 67
- Pisano C, Galley J, Elbahrawy M, et al. Human breast milk - derived extracellular vesicles in the protection against experimental necrotizing enterocolitis[J]. J pediatr Surg, 2020, 55(1): 54 - 58
- Catalina B, Josef N. Necrotizing enterocolitis: long term complications [J]. Curr Pediatr Rev, 2019, 15(2): 115 - 124
- Jones IH, Hall NJ. Contemporary outcomes for infants with necrotizing enterocolitis - a systematic review[J]. J Pediatr, 2020, 220: 86 - 92, e3
- Stey A, Barnert ES, Tseng CH, et al. Outcomes and costs of surgical treatments of necrotizing enterocolitis [J]. Pediatrics, 2015, 135 (5): e1190 - e1197
- Qiao L, Yan S, Dou X, et al. Biogenic selenium nanoparticles alleviate intestinal epithelial barrier damage through regulating endoplasmic reticulum stress - mediated mitophagy [J]. Oxid Med Cell Longev, 2022, 2022: 3982613
- 胡甜, 申月明, 曾亚. 内质网应激在炎症性肠病免疫调节中的作用[J]. 国际消化病杂志, 2021, 41(1): 15 - 18
- 随何欢, 赵海霞, 朱丽莎, 等. 内质网应激 - 自噬参与葫芦素 E 诱导的结肠癌细胞凋亡[J]. 西部医学, 2020, 32(11): 1604 - 1607
- Lau E, Lee C, Li B, et al. Endoplasmic reticulum stress in the acute intestinal epithelial injury of necrotizing enterocolitis[J]. Pediatr Surg Int, 2021, 37(9): 1151 - 1160
- Zhu X, Cui N, Yu L, et al. Potential role of endoplasmic reticulum stress is involved in the protection of fish oil on neonatal rats with necrotizing enterocolitis[J]. Sci Rep, 2020, 10(1): 1 - 9
- Chen L, Lv Z, Gao Z, et al. Human beta - defensin - 3 reduces excessive autophagy in intestinal epithelial cells and in experimental necrotizing enterocolitis[J]. Sci Rep, 2019, 9: 19890
- Tian YX, Mao MJ, Cao XQ, et al. Identification and validation of autophagy - related genes in necrotizing enterocolitis[J]. Front Pediatr, 2022, 10: 839110
- 王国琴, 张旭明, 王胜超, 等. 内质网氧化还原酶 1 α 表达下调对结肠癌细胞增殖、凋亡、迁移和自噬的影响[J]. 肿瘤, 2019, 39(5): 325 - 334
- 刘晶. 自噬对新生大鼠坏死性小肠结肠炎模型的影响[D]. 太原: 山西医科大学, 2022
- 汪煜鹏. 小鼠小肠上皮隐窝的培养方法与鉴定[D]. 遵义: 遵义医科大学, 2020
- 沈雁, 王章流, 钟继红, 等. 基于 PERK - e IF2 α - NF - κ B 信号通路研究甘草酸苷对小鼠肠上皮细胞内质网应激的保护作用[J]. 中国现代应用药学, 2022, 11: 1389 - 1394
- Choi YY. Necrotizing enterocolitis in newborns: update in pathophysiology and newly emerging therapeutic strategies[J]. Korean J Pediatr, 2014, 57(12): 505 - 513
- Li Z, Sheng L. Significance of dynamic evolution of tnf - α , IL - 6 and intestinal fatty acid - binding protein levels in neonatal necrotizing enterocolitis[J]. Exp Ther Med, 2018, 15(2): 1289 - 1292
- Baregamian N, Song J, Bailey CE, et al. Tumor necrosis factor - α and apoptosis signal - regulating kinase 1 control reactive oxygen species release, mitochondrial autophagy and c - Jun N - terminal kinase/p38 phosphorylation during necrotizing enterocolitis [J]. Oxid Med Cell Longev, 2009, 2(5): 297 - 306
- Yin M, Li ZH, Wang C, et al. Stellate ganglion blockade repairs intestinal mucosal barrier through suppression of endoplasmic reticulum stress following hemorrhagic shock [J]. Int J Med Sci, 2020, 17 (14): 2147
- Heida F, Hulscher J, Schurink M, et al. Intestinal fatty acid - binding protein levels in necrotizing enterocolitis correlate with extent of necrotic bowel: results from a multicenter study[J]. J Pediatr Surg, 2015, 50(7): 1115 - 1118
- Cao P, Chen Y, Guo X, et al. Fusobacterium nucleatum activates endoplasmic reticulum stress to promote crohn's disease development via the upregulation of CARD3 expression[J]. Front Pharmacol, 2020, 11: 106
- Zhang Z, Zhang L, Zhou L, et al. Redox signaling and unfolded protein response coordinate cell fate decisions under ER stress[J]. Redox Biol, 2019, 25: 101047
- Feng J, Chen Y, Lu B, et al. Autophagy activated via GRP78 to alleviate endoplasmic reticulum stress for cell survival in blue light - mediated damage of A2E - laden RPEs[J]. BMC Ophthalmol, 2019, 19(1): 1 - 9
- 郭晓宇, 高宇. 分子伴侣蛋白 150 在内质网应激相关疾病

- 中的研究进展 [J]. 中国老年学杂志, 2017, 37(23): 5995–5997
- 26 Qi Z, Chen L. Endoplasmic reticulum stress and autophagy [J]. *Adv Exp Med Biol*, 2019, 1206: 167–177
- 27 Guo JM, Xing HJ, Cai JZ, et al. H2S exposure – induced oxidative stress promotes LPS – mediated hepatocyte autophagy through the PI₃K/AKT/TOR pathway [J]. *Ecotoxicol Environ Saf*, 2021, 209: 111801
- 28 朱晨露, 杜家如, 姚言雪, 等. 沉默 ATG5 及 ATG7 可抑制顺铂介导的耐顺铂卵巢癌细胞的自噬和增殖 [J]. 南方医科大学学报, 2021, 41(5): 657–663
- 29 胡利霞, 方红霞. 细胞因子与新生儿坏死性小肠结肠炎的相关性 [J]. 中国妇幼健康研究, 2019, 30(1): 19–22
- 30 Li B, Lee C, Chuslup S, et al. Intestinal epithelial tight junctions and permeability can be rescued through the regulation of endoplasmic re-

ticulum stress by amniotic fluid stem cells during necrotizing enterocolitis [J]. *FASEB J*, 2021, 35(1): e21265

- 31 Li P, Fu D, Sheng Q, et al. TUDCA attenuates intestinal injury and inhibits endoplasmic reticulum stress – mediated intestinal cell apoptosis in necrotizing enterocolitis [J]. *Int Immunopharmacol*, 2019, 74: 105665
- 32 Afrazi A, Branca MF, Sodhi CP, et al. Toll – like receptor 4 – mediated endoplasmic reticulum stress in intestinal crypts induces necrotizing enterocolitis [J]. *J Biol Chem*, 2014, 289(14): 9584–9599
- 33 Huang Y, Wang Y, Feng Y, et al. Role of endoplasmic reticulum stress – autophagy axis in severe burn – induced intestinal tight junction barrier dysfunction in mice [J]. *Front Physiol*, 2019, 10: 606

(收稿日期: 2022-12-17)

(修回日期: 2022-01-24)

(上接第 28 页)

- 4 Burke DT, Carle GF, Olson MV. Cloning of large segments of exogenous DNA into yeast by means of artificial chromosome vectors [J]. *Science*, 1987, 236(4803): 806–812
- 5 Shizuya H, Birren B, Kim UJ, et al. Cloning and stable maintenance of 300 – kilobase – pair fragments of human DNA in Escherichia coli using an F – factor – based vector [J]. *Proc Natl Acad Sci U S A*, 1992, 89(18): 8794–8797
- 6 Spirhanzlova P, Dhorne – Pollet S, Fellah JS, et al. Construction and characterization of a BAC library for functional genomics in *Xenopus tropicalis* [J]. *Dev Biol*, 2017, 426(2): 255–260
- 7 Gong S, Kus L, Heintz N. Rapid bacterial artificial chromosome modification for large – scale mouse transgenesis [J]. *Nat Protoc*, 2010, 5(10): 1678–1696
- 8 Luo M, Wang YH, Frisch D, et al. Melon bacterial artificial chromosome (BAC) library construction using improved methods and identification of clones linked to the locus conferring resistance to melon Fusarium wilt (Fom-2) [J]. *Genome*, 2001, 44(2): 154–162
- 9 Zhao Z, Xie X, Liu W, et al. STI PCR: an efficient method for amplification and de novo synthesis of long DNA sequences [J]. *Mol Plant*, 2022, 15(4): 620–629
- 10 Johnson SJ, Wade – Martins R. A BACwards glance at neurodegeneration: molecular insights into disease from LRRK2, SNCA and MAPT BAC – transgenic mice [J]. *Biochem Soc Trans*, 2011, 39(4): 862–867
- 11 Zhang Y, Zhang X, O'Hare TH, et al. A comparative physical map reveals the pattern of chromosomal evolution between the turkey (*Meleagris gallopavo*) and chicken (*Gallus gallus*) genomes [J]. *BMC*

Genomics, 2011, 12: 447

- 12 Sato K, Motoi Y, Yamaji N, et al. 454 sequencing of pooled BAC clones on chromosome 3H of barley [J]. *BMC Genomics*, 2011, 12: 246
- 13 Gangalum RK, Jing Z, Nagaoka Y, et al. Purification of BAC DNA for high – efficiency transgenesis [J]. *Biotechniques*, 2011, 51(5): 335–337
- 14 Luo M, Kim H, Kudrna D, et al. Construction of a nurse shark (*Ginglymostoma cirratum*) bacterial artificial chromosome (BAC) library and a preliminary genome survey [J]. *BMC Genomics*, 2006, 7: 106
- 15 Ma KY, Yu SH, Du YX, et al. Construction of a genomic bacterial artificial chromosome (BAC) library for the prawn macrobrachium rosenbergii and initial analysis of ZW chromosome – derived BAC inserts [J]. *Mar Biotechnol (NY)*, 2019, 21(2): 206–216
- 16 Zhao M, Ma J, Li M, et al. Cytochrome P450 enzymes and drug metabolism in humans [J]. *Int J Mol Sci*, 2021, 22(23): 12808
- 17 Gaedigk A, Sangkuhl K, Whirl – Carrillo M, et al. The evolution of pharmvar [J]. *Clin Pharmacol Ther*, 2019, 105(1): 29–32
- 18 Xia R, Zhu X, Chen Z, et al. Genetic polymorphisms of the drug – metabolizing enzyme cytochrome P450 2A6 in a Tibetan Chinese population [J]. *Int J Clin Exp Pathol*, 2018, 11(10): 5024–5033
- 19 Shi X, Zeng H, Xue Y, et al. A pair of new BAC and BIBAC vectors that facilitate BAC/BIBAC library construction and intact large genomic DNA insert exchange [J]. *Plant Methods*, 2011, 7: 33

(收稿日期: 2023-01-29)

(修回日期: 2023-02-24)